

- Бурделов А. С. Ареал большой песчанки и его макроструктура.— В кн.: Экология и медицинское значение песчанок фауны СССР. М., 1977, с. 63—66.
- Гептнер В. Г. Заметки о песчанках (Mammalia, Glires). Х. Новые сведения по географическому распространению и систематике *Rhombomys opimus* Licht.— Бюл. Моск. о-ва испытателей природы. Отд-ные биол., 1938, 48, № 4, с. 99—104.
- Гептнер В. Г. Фауна песчанок (Mammalia, Glires) Ирана и зоогеографические особенности малоазиатско-афганских стран.— Новые мемуары Моск. о-ва испытателей природы, 1940, 20, с. 5—71.
- Громов И. М., Поляков И. Я. Полевки (Microtinae). Млекопитающие.— М.: Наука, 1977.— 504 с.— (Фауна СССР. Новая сер.; № 116; Т. 3. Вып. 8).
- Неронов В. М., Фаранг-Азад А. Распространение и структура ареала большой песчанки (*Rhombomys opimus*) в Иране.— Зоол. журн., 1972, 51, вып. 5, с. 715—723.
- Павлинов И. Я. К морфологии зубной коронки высших песчанок.— Вестн. зоологии, 1979, № 3, с. 33—36.
- Фоканов В. А. Новый род и вид песчанки *Pliorhombomys gromovi* Fokanov gen. et spec. nov. (Mammalia, Rodentia) из позднего плиоцена южной Туркмении.— Тр. Зоол. ин-та АН СССР, 1976, 66, с. 122—124.
- Нерпнер V. G. Notizen über die Gerbillidae (Mammalia, Rodentia). VI Über die Einteilung der Gerbillidae.— Zool. Anz. 1933, 102, Н. 3/4, S. 107—112.

Зоологический музей
Московского университета

Поступила в редакцию
2.III 1981 г.

УДК 591.112.591.481.1

Л. А. Коршунова

ТКАНЕВЫЕ ОСОБЕННОСТИ СТЕНКИ ДУГИ АОРТЫ НЕКОТОРЫХ ПАРНОКОПЫТНЫХ

В литературе имеются сведения о гистологической структуре аорты у парнокопытных (Бердонгаров, 1953; Хлопин, 1956; Левина, 1957; Goetz, Meyer, 1958) и физических свойствах аорты (Nekkel, 1953; Bader, Kapal, 1963; Маликов, Абраев, Суванов, 1974).

Нами изучена гистологическая структура стенки дуги аорты у 54 парнокопытных 19 видов, разных по степени физической активности и конституционным особенностям: домашняя свинья (*Sus scrofa domestica*) — 5 экз., муфтажак (*Muntiacus sinensis*) — 1 экз., благородный олень (*Cervus elaphus*) — 2 экз., караптагский муфлон (*Ovis orientalis*) — 1 экз., домашняя овца (*Ovis aries*) — 6 экз., изюбр (*Cervus canadensis*) — 1 экз., пятнистый олень (*Cervus nippon*) — 2 экз., косуля (*Capreolus capreolus*) — 4 экз., европейский лось (*Alces alces*) — 2 экз., марал (*Cervus elaphus*) — 2 экз., антилопа канна (*Taurotragus oryx*) — 6 экз., индийский нильгая (*Boselaphus tragocamelus*) — 2 экз., голубой гну (*Connochaetes taurinus*) — 1 экз., домашняя коза (*Capra hircus*) — 5 экз., грибистый баран (*Ammotragus lervia*) — 1 экз., бантенг (*Bison banteng*) — 1 экз., домашний бык (*Bos taurus domestica*) — 9 экз., буйвол (*Bubalus bubalis*) — 2 экз., бизон (*Bison bison*) — 1 экз. Изготовлено 280 гистологических препаратов. Материал фиксировали 10%-ным нейтральным формалином и фиксатором по Лилли, заливали в целлоидин, срезы окрашивали гематоксилином-эозином, по Ван-Гизону, по Футу, Харту, орсеином по Унна-Тенцеру, по Паниной, по Маллори.

Анализ гистологических срезов показал, что дуга аорты парнокопытных — сосуд эластического типа, но с большим количеством мышечной ткани и состоит из трех оболочек: интимы, меди и адвенции.

Интима представлена эндотелием и подэндотелиальным слоем. Эндотелий состоит из тесно сомкнутых плоских полиморфных клеток, одно- или двуядерных. Подэндотелиальный слой выражен нечетко. В нем расположены клетки двух типов: на границе с эндотелием клетки гистиоцитоподобной формы, в следующих 2—3 слоях клетки, похожие на фибробласти, с хорошо выраженным овальным ядром. В эндотелии встречаются также гладкомышечные клетки и заходят тонкие эластические и аргирофильные волокна. Резко отличается интима домашнего быка, она толще в 2—12 раз, чем интима всех других представителей отряда парнокопытных.

Различия наблюдаются и в медине, которая представлена эластическими волокнами, образующими эластические мембранны, гладкомышечными клетками и рыхлой волокнистой соединительной тканью. В отличие от представителей отряда хищных в медине парнокопытных резко увеличивается количество мышечной ткани и кровеносных сосудов, пытающих стенку. Медия занимает от 84,75 до 92,78% толщины стенки.

У домашней свиньи медине отделена от интимы расположенным близко друг к другу сплошными мембранны, по толщине вдвое превышающими толщину всех других мембран. Остальная часть медине заполнена прерывистыми мембранны, фрагментированными на участки. Между фрагментами образуются «оконца». Эластические мембранны разветвленные, толщина их 2 мкм (рисунок, 1). Гладкомышечные клетки расположены циркулярно и только в местах «оконцев» — продольно. Пучки гладкомышечных клеток появляются примерно с середины медине и по направлению к адвентии. Рыхлой волокнистой соединительной ткани мало. Индекс Керногана равен 1 : 7,5.

У му副秘书长а медине отделена от интимы хорошо выраженной сплошной мембранны, толщиной 6 мкм. За ней на расстоянии 50—60 мкм следуют фрагментированные мембранны, в остальной части медине мембранны длинные, анастомозируют друг с другом и равны 3—6 мкм. До середины медине мембранны расположены через 6—10 мкм, а ближе к адвентии — через 20—35 мкм. У адвентии эластические мембранны прерываются пучками гладкомышечных клеток. На границе с интимой они расположены в один слой продольно и циркулярно, а ближе к адвентии — пучками в 5—6 слоев. Размеры пучков от 10×20—24 до 16×400—600 мкм. Но эти пучки не мешают прохождению тонких эластических волокон. Индекс Керногана равен 1 : 8,3.

У благородного оленя медине в 5—5,5 раза толще, чем у му副秘书长а, но похожа по строению. У оленя эластические мембранны становятся прерывистыми ближе к адвентии, и мышечные пучки занимают большую часть медине (рисунок, 2). Размеры мышечных пучков — 300×1700; 640×900; 440×3340 мкм. Между мышечными пучками находятся эластические мембранны, образующие слой толщиной 140—190 мкм, то есть мышечные пучки образуют почти сплошной мышечный слой по всей окружности сосуда. Индекс Керногана равен 1 : 4,8.

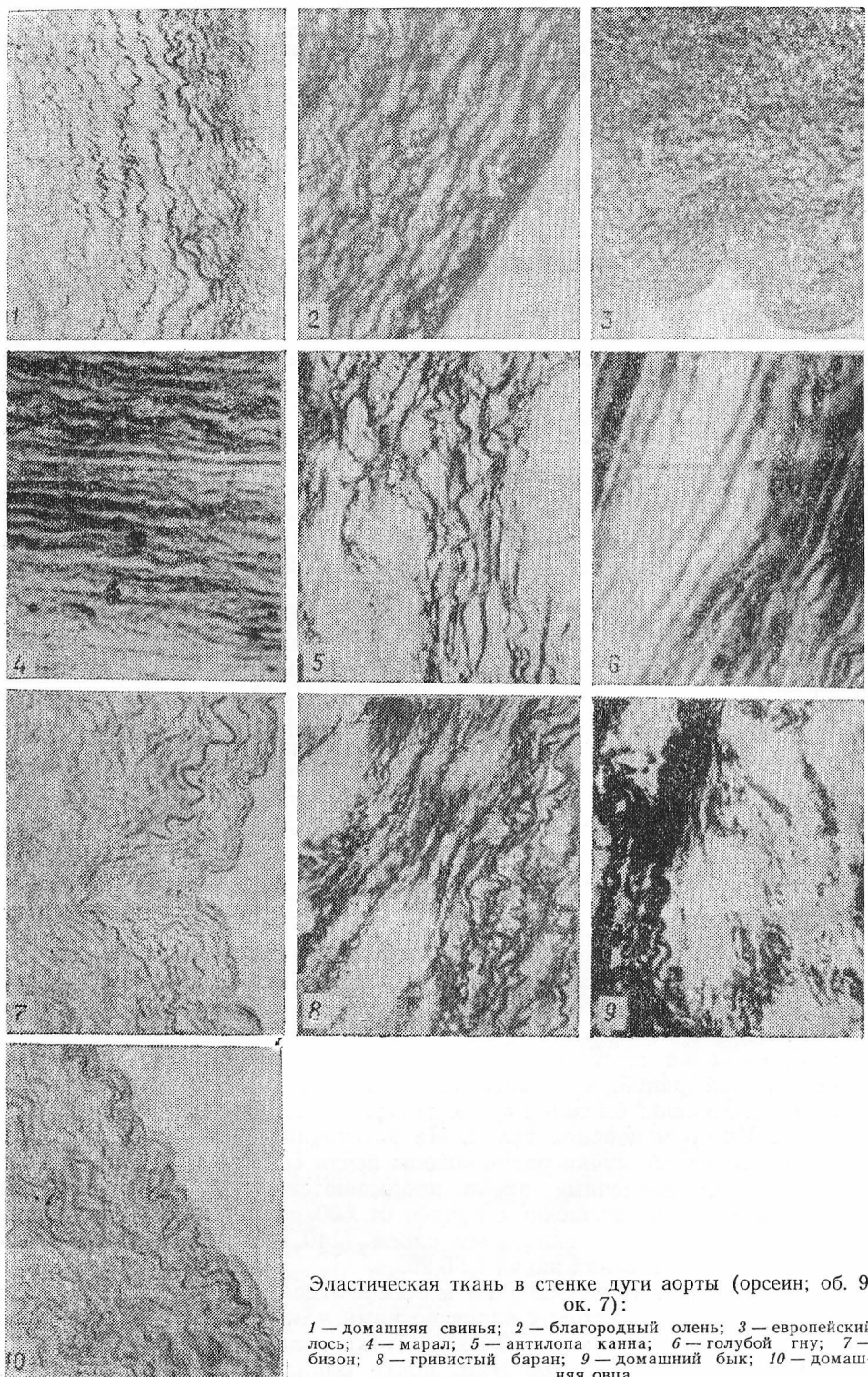
У муфлона строение медине похоже на строение медине благородного оленя, но мышечные пучки расположены почти по всей толщине медине, и эластические мембранны менее разветвленные. Индекс Керногана равен 1 : 6,07.

У изюбра медине эластичнее, чем у благородного оленя и муфлона. Толщина ее вдвое меньше, чем у оленя. Пучки гладкомышечных клеток также значительно меньше: 180×400; 240×600 мкм и меньше; мышечные пучки не мешают прохождению эластических мембранны, которые точно фрагментированы, и поэтому создается видимость их непрерывности. Расположены мембранны на расстоянии 6—8 мкм друг от друга. Между адвентией и медине, как у муфлона, есть хорошо выраженная прослойка жировой ткани. Индекс Керногана равен 1 : 8,6.

У пятнистого оленя тканевое строение медине сходно со строением медине изюбра, только эластические мембранны более фрагментированные и разветвленные.

У косули в медине все эластические мембранны фрагментированы, толщина их 4—5 мкм. Гладкомышечные клетки между мембранны расположены в основном продольно, а в мышечных пучках — циркулярно и косо. Мышечной ткани много, и мышечные пучки начинаются почти с середины медине. Размеры их 200×300; 180×200; 200×400 мкм. Мышечные пучки у адвентии отдельными участками образуют мышечное кольцо по всему сосуду. Индекс Керногана равен 1 : 6,5.

У европейского лося в медине много эластических волокон. Эластические мембранны фрагментированные, расположены плотно друг



Эластическая ткань в стенке дуги аорты (орсейн; об. 9, ок. 7):

1 — домашняя свинья; 2 — благородный олень; 3 — европейский лось; 4 — марал; 5 — антилопа канна; 6 — голубой гну; 7 — бизон; 8 — гривистый баран; 9 — домашний бык; 10 — домашняя овца.

к другу, окончатые, толщина 8—9 мкм. Между эластическими мембранами имеется сеть эластических волокон. Рыхлой волокнистой соединительной ткани мало (рисунок 3). Мышечные пучки появляются ближе к адвенции, их размеры — 60×160 мкм и меньше. Единично встречаются пучки 200×400 мкм. Индекс Керногана — 1:6,8.

У марала фрагментированные эластические мембранны расположены плотно и параллельно друг к другу, толщина их 6—8 мкм. В средней части они анастомозируют и далее к адвентиции опять параллельны. Ближе к адвентиции появляются пучки гладкомышечных клеток. Размеры пучков 300×1200 ; 340×800 ; 200×600 мкм и меньше. Мышечные пучки прерываются пучками эластических волокон. Сквозь мышечные пучки последние проходят вдвое тоньше и разветвленные (рисунок, 4).

В пучках гладкомышечные клетки расположены в основном циркулярно; хотя встречаются пучки с продольно расположенными клетками. Рыхлой волокнистой соединительной ткани мало. Индекс Керногана равен 1 : 10,5.

У антилопы канны медия похожа на медию марала и европейского лося. Пять—шесть фрагментированных мембран, плотно расположенных друг к другу, образуют границу между интимой и медией. В дальнейшем эластические мембранны анастомозируют и на $\frac{1}{5}$ расстояния от интимы лежат параллельно друг другу. Толщина эластических мембран 6—8 мкм. На $\frac{1}{2}$ толщины медии появляются пучки гладкомышечных клеток, в которых клетки расположены продольно и циркулярно. Пучки меньше, чем у марала, и равны 160×240 ; 120×340 ; 80×440 ; 180×400 мкм (рисунок, 5). Много рыхлой волокнистой соединительной ткани. Индекс Керногана равен 1 : 8,2.

У индийского нильгау мембранны слабо фрагментированные и почти по всей медии анастомозируют между собой. Только к середине медии, где появляются пучки гладкомышечных клеток, мембранны параллельны друг другу. Толщина эластических мембран 6—8 мкм. Мышечные пучки длинные, 400×900 ; 280×1000 мкм. Расположены гладкомышечные клетки в основном циркулярно. Много рыхлой волокнистой соединительной ткани. Индекс Керногана равен 1 : 9,75.

У голубого гну эластические мембранны фрагментированные, у интимы анастомозируют, а далее, где появляются мышечные пучки, утолщаются вдвое и лежат параллельно друг другу. Между мембранами, которые равны 6—8 мкм, много рыхлой волокнистой соединительной ткани, и гладкомышечные клетки расположены продольно. В медии очень много мышечной ткани. Мышечные пучки появляются уже близко к интиме. Сначала это пучки из 10—12 продольно расположенных гладкомышечных клеток, которые ближе к адвентиции чередуются с циркулярно расположенными клетками. Размеры пучков 220×800 ; 240×600 мкм, иногда до 2000 мкм (рисунок, 6). Индекс Керногана равен 1 : 6,6.

У бизона медия отделена от интимы хорошо выраженной эластической мембраной, а далее эластические мембранны фрагментированные, расположены близко друг к другу, толщина их 5—6 мкм (рисунок, 7). Много мышечной ткани. На расстоянии $\frac{1}{9}$ толщины медии от интимы мышечные пучки расположены почти сплошной полосой. Ближе к адвентиции мышечные пучки прерываются пучками эластических мембран. Толщина мышечных пучков от 500 до 1200 мкм. От адвентиции медия отделяется сплошным слоем (140 мкм) эластических мембран. Индекс Керногана равен 1 : 6,25.

У гравистого барана медия отделена от интимы несколькими совмещенными вместе эластическими мембранами. Далее они разветвляются, их толщина 4—5 мкм. Пучки гладкомышечных клеток небольшие, шириной 80—100 мкм, почти одинаковые, расположены по всей длине стенки сосуда. Но есть и довольно крупные пучки: 80×200 ; 100×240 ; 100×600 мкм (рисунок, 8). В медии очень много рыхлой волокнистой соединительной ткани. Индекс Керногана равен 1 : 7,85.

У бантенга расположение эластических мембран такое же, как у гравистого барана, толщина их 8—10 мкм. В медии много рыхлой волокнистой соединительной ткани, в которой находятся крупные (диа-

метром 200—2000 мкм) и мелкие (диаметром 20 мкм) кровеносные сосуды (1—2 сосуда в поле зрения микроскопа 8×7). Мышечные пучки образуют почти сплошное кольцо с небольшими перехватами из эластических мембран. Размеры мышечных пучков — 940×2000; 700×1800; 1000×1800; 740×1200 мкм и меньше. Расположение гладкомышечных клеток в пучках — циркулярное и изредка косое и продольное. Индекс Керногана равен 1 : 6,4.

У домашней козы эластические мембранны окончатые, фрагментированные, толщина их равна 4 мкм. В «оконцах» гладкомышечные клетки собираются по 2—4 вместе. Между мембранами много рыхлой волокнистой соединительной ткани. Мышечные пучки небольшие; 80×400; 160×400; 340×400 мкм. Индекс Керногана равен 1 : 4,2.

У домашнего быка и буйвола медия отделена от интимы слоем эластических мембран, фрагментированных на расстоянии 120 мкм от интимы. У буйвола фрагментация выражена более четко, мембранны в 2 раза тоньше, чем у быка и равны 4—5 мкм. Мышечные пучки у обоих видов начинаются с середины меди, сначала небольшими островками, толщиной 149—169 мкм, а ближе к адвентии они сливаются в сплошную полосу (рисунок, 9). В меди много рыхлой волокнистой соединительной ткани. В мышечных пучках клетки расположены продольно, циркулярно и косо. Индекс Керногана равен у буйвола 1 : 7,8; у домашнего быка 1 : 4,5.

У домашней овцы медия отделена от интимы хорошо выраженным слоем совмещенных эластических мембран (рисунок, 10), толщиной 5—6 мкм. Гладкомышечные клетки расположены в основном продольно. Ближе к адвентии появляются неширокие мышечные пучки: 120; 124; 360; 500 мкм и более. Они образуют почти сплошное кольцо. Вокруг мышечных пучков между эластическими мембранами много рыхлой волокнистой соединительной и жировой ткани; здесь же находятся мелкие кровеносные сосуды (3—4 в поле зрения микроскопа 8×7), питающие стенку сосуда. Индекс Керногана равен 1 : 3.

Адвентиция у всех названных парнокопытных представлена соединительной тканью, коллагеновые волокна которой следуют преимущественно в продольном направлении. Есть и эластические волокна; клеточный состав обычен: гистиоциты, фибробласти, много клеток крови — лимфоциты, единично встречаются эозинофилы. У изюбра и муфлона между медией и адвентицией находятся большие прослойки жировой ткани. В адвентии много кровеносных сосудов (5—6 в поле зрения микроскопа 8×7), диаметром 36—100; 200 мкм и единично более крупные.

Таким образом, сравнительное изучение тканевого строения стенки дуги аорты показало, что у подавляющего большинства парнокопытных оно сходно: фрагментированные эластические мембранны укрепляются пучками гладкомышечных клеток, которые в отдельных случаях образуют почти сплошной мышечный слой. У более подвижных особей (гризливый баран, косуля) мышечные пучки небольшие, и фрагментация мембранны в медиине меньшая. У менее подвижных и крупных животных (бизон, бантенг, домашний бык) в медиине много крупных мышечных пучков, которые образуют почти сплошной слой, и появляются хорошо заметные кровеносные сосуды, питающие стенку. Все изученные парнокопытные (за исключением домашней свиньи) растительноядные животные, но отличаются по конституционным особенностям и степени подвижности. У физически более активных млекопитающих аорта благодаря растяжимости стенок сосуда, обусловленной эластическими элементами, и большому просвету (индекс Керногана 1 : 6,25—10,5) может вмещать большой объем крови без заметного повышения артериального давления. Например, минутный объем крови у домашнего быка — 1,68; домашней свиньи — 0,62; домашней овцы — 0,68; домашней козы — 0,62 л/мин (Goetz и др., 1965). Появление же большого

количества мышечных элементов у крупных парнокопытных создает предпосылки для более активного сужения сосуда. У всех парнокопытных в медине наблюдается развитие волокнистой соединительной ткани, богатой коллагеновыми волокнами. Известно, что коллагеновые волокна в стенке сосуда предохраняют ее от разрыва, если давление превышает физиологическую норму (Burton, 1954). Поскольку упругость коллагеновых волокон в 400 раз выше, чем эластических, то развитие соединительной ткани в стенке сосуда парнокопытных явление, вероятно, положительное.

Бердонгаров К. Я. Материалы по биоморфологии сосудов внутреннего и наружного кругов кровообращения.—Тр. Алма-Атин. зоовет. ин-та, 1953, № 7, с. 197—204.

Левина М. Я. Некоторые особенности строения средней оболочки аорты коровы в разных возрастах.—Докл. АН СССР, 1957, 112, № 3, с. 533—535.

Маликов Р. М., Абраев Ч. А., Суванов М. С. Некоторые физические свойства аорты.—Тр. Самарканд. ун-та, 1974, вып. 257, с. 96—104.

Хлопин Н. Г. Эндотелиальная выстилка аорты свиньи.—Докл. АН СССР, 1956, 109, № 4, с. 865—868.

Вадор Н., Карапал Е. Vergleichende Untersuchungen über die Elastizität der Aorten Verschiedener Tierarten und des Menschen.—Z. Biol., 1963, 114, N 2/3, S. 89—111.

Burton A. C. Relation of structure to function of the tissue of the wall of blood vessels.—Physiol. Rev., 1954, 34, N 4, p. 619—642.

Goetz R. H. ect. Cardiorespiratory dynamics in the ox and giraffe, with comparative observations on man and other mammal.—Ann. N. Y. Acad. Sci., 1965, 127, N 1, p. 393—396.

Goetz R. H. Über einige Structur besonderheiten der Aorta und Meyer W. W. Pulmonalis der Giraffe eines Säugers mit hohem arteriellem Druck.—Z. Kreislauf-forsch., 1958, 47, N 7/8, S. 338—346.

Neckel I. Chemische Beobachtungen über die Wirkung von Elastase auf das Elastische Gewebe der Aorta in Beziehung zu electronenoptischen Befunden.—Naturwissenschaften, 1953, 40, N 17, S. 463—464.

Мелитопольский пединститут

Поступила в редакцию
6.II 1981 г.

УДК 591.432.1—599.537

В. Я. Луханин

ОБ АНАТОМИЧЕСКОМ СТРОЕНИИ И ТОПОГРАФИИ ПИЩЕВОДА ДЕЛЬФИНА АФАЛИНЫ

В литературе имеются сведения о строении пищевода некоторых китообразных (Яблоков, 1958; Клейненберг, Яблоков, Белькович, Тарасевич, 1964; Garrison, Johnson, Young, 1970; Яблоков, Белькович, Борисов, 1972; Green, 1972; Simpson, Gardner, 1972). Но это большей частью разрозненные данные, полученные на китообразных различных видов. Мы же попытались провести более полное изучение пищевода у китообразного определенного вида — дельфина афалины (*Tursiops truncatus ponticus* B.).

В настоящем сообщении приводятся данные по макро- и, частично, микроморфологии, а также топографии пищевода афалины. Материал взят от 12 животных, использовали распил трупов по Н. И. Пирогову и препарирование по В. П. Воробьеву, гистопрепараты окрашивали гематоксилином-эозином.

Пищевод (oesophagus) афалины, представляющий собой участок пищеварительного тракта, вытянутый в виде трубки между глоткой и желудком, начинается на уровне атланто-затылочного сочленения и заканчивается, переходя в желудок, на уровне первых поясничных позвонков.

Начальный или шейный отдел пищевода (pars cervicalis oesophagi) довольно короткий, расположен в области шеи. Средний или груд-